

## ANEXO II: DATOS DE TRÁFICO Y TRAYECTORIAS



## 1. COMPOSICIÓN DE LA FLOTA. AEROPUERTO DE GRAN CANARIA

Tabla All. 1. Composición de la flota

INDICATIVO OACI	TIPO DE AERONAVES	CÓDIGO INM	%
A124	ANTONOV An-124 Ruslan	AN124	0,0018
A306	AIRBUS A-300B/C/F 4-600	A300-622R	0,0164
A310	AIRBUS A-310	A310-304	0,0009
A319	AIRBUS A-319	A319-131	0,7197
A320	AIRBUS A-320	A320-211	11,6556
A321	AIRBUS A-321	A321	8,3440
A332	AIRBUS A-330-200	A330-301	0,8457
A333	AIRBUS A-330-300	A330-301	0,6932
A342	AIRBUS A-340-200	A340-211	0,0018
A343	AIRBUS A-340-300	A340-211	0,0256
A345	AIRBUS A-340-500	A340-642	0,0018
A346	AIRBUS A-340-600	A340-642	0,0146
AN12	ANTONOV An-12	C130	0,0128
AN26	ANTONOV An-26	AN26	0,0219
AN72	ANTONOV An-72/74 100/200	AN74TK	0,0018
ASTR	IAI 1125 Gulfstream G100	IA1125	0,0438
AT43	AEROSPATIALE ATR-42-200/300/320	ATR42	0,4895
AT72	AEROSPATIALE ATR-72	ATR72	4,8150
AT75	AEROSPATIALE ATR-72-500	ATR72	22,9743
AT76	AEROSPATIALE ATR-72-600	ATR72	3,8916
AT8T	AIR TRACTOR AT-802	CNA208	0,0210
B190	BEECH 1900	BEC190	1,6458
B350	BEECH 300 (B300) Super King Air 350	BEC300	0,0566
B712	BOEING 717-200	717200	0,0219
B733	BOEING 737-300	737300	0,5352
B734	BOEING 737-400	737400	1,2640
B735	BOEING 737-500	737500	0,0621
B737	BOEING 737-700	737700	2,1426
B738	BOEING 737-800	737800	27,9098
B739	BOEING 737-900	737900	0,0950
B744	BOEING 747-400 (international winglets)	747400	0,0091

INDICATIVO OACI	TIPO DE AERONAVES	CÓDIGO INM	%
B748	BOEING 747-8	7478	0,0018
B752	BOEING 757-200	757RR	1,5106
B753	BOEING 757-300	757300	1,1243
B763	BOEING 767-300	767300	0,3343
B772	BOEING 777-200	777200	0,0018
B77L	BOEING 777-200LR	7772LR	0,0018
B788	BOEING 787-8 Dreamliner	7878R	0,1553
B789	BOEING 787-9 Dreamliner	7878R	0,0055
BE20	BEECH 200 Super King Air	BEC200	0,5160
BE9L	BEECH 90 (A/B/C/D/E 90) King Air	BEC90	0,0046
C152	CESSNA 152	CNA152	0,0018
C25A	CESSNA 525A Citation CJ2	CNA525C	0,0055
C25B	CESSNA 525B Citation CJ3	CNA525C	0,0018
C25C	CESSNA 525C Citation CJ4	CNA525C	0,0073
C421	CESSNA 421	CNA421	0,0740
C510	CESSNA 510 Citation Mustang	CNA510	0,0037
C525	CESSNA 525 Citation CJ1	CNA525C	0,0055
C550	CESSNA 550/552 Citation 2/Bravo	CNA55B	0,0201
C560	CESSNA 560 Citation 5	CNA560	0,0110
C56X	CESSNA 560XL Citation Excel	CNA560XL	0,0292
C650	CESSNA 650 Citation 3/6/7	CIT3	0,0164
C680	CESSNA 680 Citation Sovereign	CNA680	0,0237
C750	CESSNA 750 Citation 10	CNA750	0,0082
CL30	BOMBARDIER BD-100 Challenger 300	BD100	0,0283
CL60	CANADAIR CL-600 Challenger 600/601/604	CL601	0,0548
CRJ2	CANADAIR CL-600 Regional Jet CRJ-200/440	CLREGJ	0,0155
CRJ9	CANADAIR CL-600 Regional Jet CRJ-705/900	CRJ900	4,4780
CRJX	CANADAIR CL-600 Regional Jet CRJ-1000 (CL600-2E25)	CRJ9-LR	0,1005
D228	FAIRCHILD DORNIER 228	DO228	0,0037
D328	FAIRCHILD DORNIER 328	DO328	0,0146
DA40	DIAMOND DA-40	CNA172	0,3324
DA42	DIAMOND DA-42 Twin Star	DA42	0,1489
DH8D	DE HAVILLAND CANADA DHC-8-400 Dash 8	DHC830	0,3270
DHC6	DE HAVILLAND CANADA DHC-6 Twin Otter	DHC6	0,0018
DHC7	DE HAVILLAND CANADA DHC-7 Dash 7	DHC7	0,0055

INDICATIVO OACI	TIPO DE AERONAVES	CÓDIGO INM	%
DV20	DIAMOND DA-20/22	GASEPF	0,6402
E120	EMBRAER EMB-120 Brasilia	EMB120	0,0018
E135	EMBRAER ERJ-135/140	EMB135	0,0027
E145	EMBRAER EMB-145	EMB145	0,1945
E190	EMBRAER ERJ-190/195	EMB190	0,0703
E35L	EMBRAER EMB-135BJ Legacy 600	EMB14L	0,0192
E55P	EMBRAER EMB-505 Phenom 300	CNA55B	0,0073
EA50	ECLIPSE Eclipse 500	ECLIPSE500	0,0018
F100	FOKKER 100	F10065	0,0037
F2TH	DASSAULT Falcon 2000	FAL20A	0,0338
F406	CESSNA F406	DHC6	0,0027
F900	DASSAULT-BREGUET Mystère 900	FAL900	0,0128
FA50	DASSAULT-BREGUET Falcon 50	FAL50	0,0256
FA7X	DASSAULT Falcon 7X	F10062	0,0128
G150	IAI Gulfstream G150	G150	0,0055
GALX	IAI 1126 Gulfstream G200	G200	0,0448
GL5T	BOMBARDIER BD-700 Global 5000	GV	0,0037
GLEX	BOMBARDIER BD-700 Global Express	BD700	0,0475
GLF4	GULFSTREAM AEROSPACE G-4 Gulfstream G300/350/400/450	GIV	0,0256
GLF5	GULFSTREAM AEROSPACE G-5SP Gulfstream G500/550	GV	0,0384
GLF6	GULFSTREAM AEROSPACE Gulfstream G650	GV	0,0164
H25B	BRITISH AEROSPACE BAe-125-700/800	IA1125	0,0895
H25C	BRITISH AEROSPACE BAe-125-1000	LEAR35	0,0018
J328	FAIRCHILD DORNIER 328JET	D328J	0,0511
LJ31	LEARJET 31	LEAR31	0,0146
LJ35	LEARJET 35/36	LEAR35	0,1251
LJ45	LEARJET 45	LEAR45	0,0566
LJ55	LEARJET 55	LEAR55	0,0274
LJ60	LEARJET 60	LEAR60	0,0311
P180	PIAGGIO P-180 Avanti	P180	0,0055
P210	CESSNA P210 Pressurized Centurion	CNA210	0,0018
P28A	PIPER PA-28-140/150/151/160/161/180/181	PA28	0,0027
P28R	PIPER PA-28R-180/200/201/201T Cherokee Arrow	PA28CA	0,0174
P68	PARTENAVIA P-68	PEC58P	0,0018

INDICATIVO OACI	TIPO DE AERONAVES	CÓDIGO INM	%
PA23	PIPER PA-23-150/160 Apache	PA23AP	0,0018
PA46	PIPER PA-46-310P Malibu	PA46	0,0018
PAY1	PIPER PA-31T1-500 Cheyenne 1	PA31T	0,0037
PAY3	PIPER PA-42-720 Cheyenne 3	PA42	0,0037
PAY4	PIPER PA-42-1000 Cheyenne 400	PA42	0,0110
PC12	PILATUS PC-12	PC12	0,0037
RJ85	BRITISH AEROSPACE RJ-85	BAE146	0,0018
SIRA	TECNAM P-2002 Sierra	GASEPF	0,6128
SR22	CIRRUS SR-22	SR22	0,0027
SW3	FAIRCHILD SWEARINGEN SA-226TB/227TT Merlin 3/Fairchild 300	SA227	0,0037
SW4	FAIRCHILD SA-226/227 Metro/Merlin/Expediter	SA227	0,0037
TBM7	SOCATA TBM-700	STBM7	0,0018

Fuente: PALESTRA 2016



## 2. FICHERO DE TRÁFICO. AEROPUERTO DE GRAN CANARIA

Tabla All. 2. Fichero de tráfico.

AERONAVE INM	ATERRIZAJES			DESPEGUES		
	DÍA	TARDE	NOCHE	DÍA	TARDE	NOCHE
717200	0,0308	0,0028	0,0000	0,0280	0,0056	0,0000
737300	0,7735	0,0532	0,0000	0,7174	0,0953	0,0028
737400	0,3895	0,7174	0,8323	0,7286	0,7791	0,4316
737500	0,0701	0,0224	0,0028	0,0420	0,0448	0,0084
737700	3,1947	0,0757	0,0224	3,1331	0,1149	0,0336
737800	30,9271	7,7037	4,2036	32,1489	8,0400	2,6146
737900	0,1401	0,0028	0,0028	0,1373	0,0084	0,0000
747400	0,0084	0,0028	0,0000	0,0084	0,0000	0,0084
7478	0,0028	0,0000	0,0000	0,0028	0,0000	0,0000
757300	1,6982	0,0252	0,0000	1,6394	0,0757	0,0112
757RR	1,0481	0,6417	0,6277	1,6114	0,6782	0,0280
767300	0,3839	0,1205	0,0084	0,2999	0,1906	0,0224
777200	0,0028	0,0000	0,0000	0,0028	0,0000	0,0000
7772LR	0,0028	0,0000	0,0000	0,0028	0,0000	0,0000
7878R	0,1009	0,1373	0,0084	0,0757	0,1541	0,0168
A300-622R	0,0028	0,0056	0,0168	0,0196	0,0056	0,0000
A310-304	0,0000	0,0000	0,0028	0,0000	0,0000	0,0000
A319-131	0,9360	0,1401	0,0280	0,7847	0,3027	0,0168
A320-211	13,9895	2,5502	1,3451	14,6200	2,1270	1,1322
A321	9,2451	2,2419	1,3143	10,3324	1,8075	0,6614
A330-301	2,3232	0,0224	0,0140	2,0962	0,2606	0,0056
A340-211	0,0308	0,0028	0,0084	0,0168	0,0140	0,0112
A340-642	0,0252	0,0000	0,0000	0,0028	0,0224	0,0000
AN124	0,0028	0,0000	0,0000	0,0028	0,0000	0,0000
AN26	0,0252	0,0028	0,0056	0,0280	0,0000	0,0056
AN74TK	0,0000	0,0028	0,0000	0,0000	0,0000	0,0028
ATR42	0,4120	0,3363	0,0028	0,6165	0,1317	0,0028
ATR72	36,0190	12,2436	0,3475	38,9531	9,0881	0,5577
BAE146	0,0028	0,0000	0,0000	0,0028	0,0000	0,0000
BD100	0,0420	0,0028	0,0000	0,0420	0,0000	0,0000
BD700	0,0448	0,0140	0,0140	0,0476	0,0168	0,0084
BEC190	1,3451	0,1177	1,0621	0,5801	0,0224	0,0084

AERONAVE INM	ATERRIZAJES			DESPEGUES		
	DÍA	TARDE	NOCHE	DÍA	TARDE	NOCHE
BEC200	0,5493	0,2438	0,0000	0,7342	0,0560	0,0000
BEC300	0,0757	0,0084	0,0000	0,0897	0,0000	0,0000
BEC58P	0,0028	0,0000	0,0000	0,0028	0,0000	0,0000
BEC90	0,0084	0,0000	0,0000	0,0056	0,0000	0,0000
C130	0,0056	0,0000	0,0140	0,0140	0,0000	0,0056
CIT3	0,0168	0,0056	0,0028	0,0140	0,0084	0,0028
CL601	0,0617	0,0168	0,0056	0,0701	0,0056	0,0084
CLREGJ	0,0112	0,0056	0,0056	0,0112	0,0084	0,0056
CNA152	0,0028	0,0000	0,0000	0,0028	0,0000	0,0000
CNA172	0,3811	0,1177	0,0084	0,4484	0,0645	0,0000
CNA208	0,0364	0,0000	0,0000	0,0280	0,0000	0,0000
CNA210	0,0028	0,0000	0,0000	0,0028	0,0000	0,0000
CNA421	0,1065	0,0084	0,0000	0,1065	0,0000	0,0056
CNA510	0,0056	0,0000	0,0000	0,0056	0,0000	0,0000
CNA525C	0,0196	0,0112	0,0000	0,0252	0,0000	0,0056
CNA55B	0,0308	0,0028	0,0084	0,0336	0,0056	0,0028
CNA560	0,0112	0,0028	0,0028	0,0112	0,0028	0,0028
CNA560XL	0,0392	0,0056	0,0028	0,0364	0,0028	0,0028
CNA680	0,0252	0,0028	0,0084	0,0224	0,0056	0,0084
CNA750	0,0084	0,0000	0,0028	0,0140	0,0000	0,0000
CRJ900	4,9182	1,8159	0,1317	5,5908	1,1882	0,0953
CRJ9-LR	0,1233	0,0308	0,0000	0,1345	0,0168	0,0028
D328J	0,0757	0,0028	0,0000	0,0757	0,0028	0,0000
DA42	0,1850	0,0448	0,0000	0,2186	0,0084	0,0000
DHC6	0,0028	0,0000	0,0028	0,0084	0,0000	0,0000
DHC7	0,0028	0,0028	0,0028	0,0056	0,0000	0,0028
DHC830	0,4876	0,0140	0,0000	0,4652	0,0364	0,0000
DO228	0,0056	0,0000	0,0000	0,0056	0,0000	0,0000
DO328	0,0140	0,0084	0,0000	0,0196	0,0000	0,0028
ECLIPSE500	0,0028	0,0000	0,0000	0,0028	0,0000	0,0000
EMB120	0,0000	0,0000	0,0028	0,0028	0,0000	0,0000
EMB135	0,0000	0,0028	0,0028	0,0028	0,0000	0,0000
EMB145	0,2774	0,0196	0,0028	0,2606	0,0280	0,0084
EMB14L	0,0056	0,0056	0,0168	0,0168	0,0000	0,0140



AERONAVE INM	ATERRIZAJES			DESPEGUES		
	DÍA	TARDE	NOCHE	DÍA	TARDE	NOCHE
EMB190	0,0729	0,0224	0,0112	0,0925	0,0168	0,0000
F10062	0,0112	0,0000	0,0084	0,0140	0,0000	0,0056
F10065	0,0028	0,0028	0,0000	0,0028	0,0028	0,0000
FAL20A	0,0364	0,0084	0,0084	0,0392	0,0000	0,0112
FAL50	0,0196	0,0140	0,0056	0,0252	0,0084	0,0056
FAL900	0,0140	0,0056	0,0000	0,0196	0,0000	0,0000
G150	0,0056	0,0028	0,0000	0,0084	0,0000	0,0000
G200	0,0504	0,0084	0,0084	0,0532	0,0056	0,0112
GASEPF	1,6954	0,2242	0,0000	1,9140	0,0112	0,0000
GIV	0,0252	0,0000	0,0140	0,0168	0,0084	0,0140
GV	0,0280	0,0140	0,0476	0,0336	0,0056	0,0504
IA1125	0,1681	0,0336	0,0028	0,1990	0,0028	0,0028
LEAR31	0,0168	0,0056	0,0000	0,0224	0,0000	0,0000
LEAR35	0,1653	0,0196	0,0084	0,1822	0,0084	0,0056
LEAR45	0,0476	0,0308	0,0084	0,0841	0,0028	0,0000
LEAR55	0,0252	0,0112	0,0056	0,0420	0,0000	0,0000
LEAR60	0,0364	0,0056	0,0056	0,0420	0,0028	0,0028
P180	0,0056	0,0028	0,0000	0,0084	0,0000	0,0000
PA23AP	0,0028	0,0000	0,0000	0,0028	0,0000	0,0000
PA28	0,0000	0,0000	0,0000	0,0084	0,0000	0,0000
PA28CA	0,0056	0,0112	0,0084	0,0168	0,0084	0,0028
PA31T	0,0028	0,0028	0,0000	0,0056	0,0000	0,0000
PA42	0,0168	0,0028	0,0028	0,0112	0,0056	0,0056
PA46	0,0028	0,0000	0,0000	0,0028	0,0000	0,0000
PC12	0,0056	0,0000	0,0000	0,0028	0,0028	0,0000
SA227	0,0084	0,0028	0,0000	0,0112	0,0000	0,0000
SR22	0,0028	0,0000	0,0000	0,0056	0,0000	0,0000
STBM7	0,0028	0,0000	0,0000	0,0028	0,0000	0,0000
<b>Total</b>	<b>113,1994</b>	<b>29,9995</b>	<b>10,2399</b>	<b>120,0820</b>	<b>25,5185</b>	<b>7,7990</b>


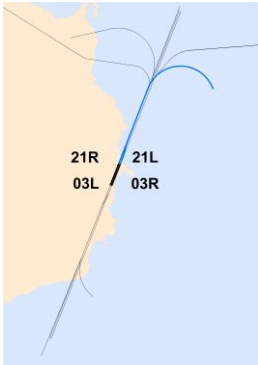
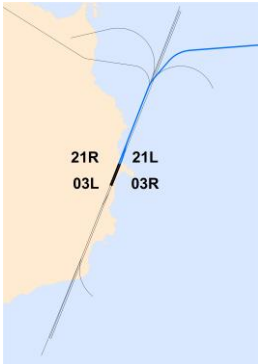
Fuente: Elaboración propia






### 3. RÉGIMEN DE UTILIZACIÓN DE PISTAS Y TRAYECTORIAS

Tabla AII. 3. Características operativas de los corredores. Configuración 03 (03L/03R)

CORREDOR SIMULADO	PERIODO OPERATIVO	PISTA	PROCEDIMIENTO AIP
<b>LLEGADAS NORMALIZADA (STAR)</b>			
<p><b>1</b></p> 	H24	03L/03R	COSTI1C / HIE1 / KONBA4C / LORPO1C / LORPO1Z / ODEGI1C / ORTIS4C / REMGI1C / RUSIK6C / RUSIK6Z / SAMAR4C / TERTO6C / TERTO6Z / VIDRI1C
<b>SALIDAS NORMALIZADA POR INSTRUMENTOS (SID)</b>			
<p><b>S</b></p> 	H24	03L/03R	COSTI3A / HIE3A / ODEGI1A / REMGI1A / TFS3A
<p><b>E</b></p> 	H24	03L/03R	KOPUD1A


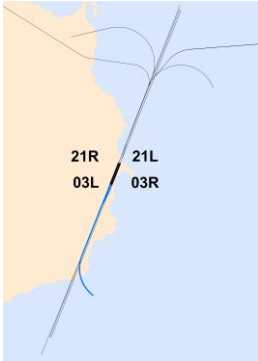
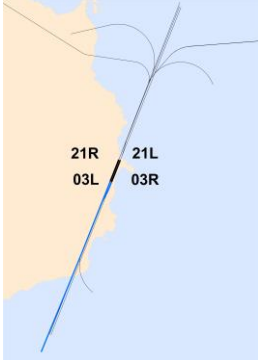


CORREDOR SIMULADO	PERIODO OPERATIVO	PISTA	PROCEDIMIENTO AIP
<p><b>NNE</b></p> 	H24	03L/03R	BIMBO5A / KONBA5A / KORAL6A / RASEP1A/ SAMAR7A / VASTO7A
<p><b>O1</b></p> 	H24	03L/03R	ARACO4A / TFN4A (Aeronaves categoría C y D)
<p><b>O2</b></p> 	H24	03L/03R	ARACO4A / TFN4A (Aeronaves categoría A y B)

Fuente: Elaboración propia



Tabla All. 4. Características operativas de los corredores. Configuración 21 (21L/21R)

CORREDOR SIMULADO	PERIODO OPERATIVO	PISTA	PROCEDIMIENTO AIP
<b>LLEGADAS NORMALIZADA (STAR)</b>			
<b>1</b> 	H24	21L/21R	COST11C / HIE1 / KONBA4D / LORPO1C / LORPO1Z / ODEG11C / ORTIS4D / REMG11C / RUSIK2D / RUSIK6Z / SAMAR4D / TERTO4D / TERTO6Z / VIDRI1C
<b>SALIDAS NORMALIZADA POR INSTRUMENTOS (SID)</b>			
<b>E</b> 	H24	21L/21R	ARACO3B/ BIMBO3B / COSTI3B / KONBA3B / KOPUD1B / RASEP1B / REMGI1B / SAMAR5B /TFN3B / VASTO5B
<b>O</b> 	H24	21L/21R	HIE1B / ODIGI1B / TFS1B

Fuente: Elaboración propia



**Tabla All. 5. Porcentaje de empleo de corredores. Llegadas.**

CONFIGURACIÓN	PISTA	CORREDOR	%D	%T	%N	%TOTAL POR CONFIGURACIÓN
03	03L	1	74,73	18,94	6,33	64,25
	03R	1	71,09	21,49	7,42	35,75
21	21L	1	73,68	13,16	13,16	4,93
	21R	1	82,09	12,73	5,18	95,07

Fuente: Elaboración propia

**Tabla All. 6. Porcentaje de empleo de corredores. Salidas.**

CONFIGURACIÓN	PISTA	CORREDOR	%D	%T	%N	%TOTAL POR CONFIGURACIÓN
03	03L	E	79,57	20,02	0,41	5,53
		NNE	81,24	14,17	4,58	43,39
		O1	83,74	8,21	8,05	1,18
		O2	75,54	21,55	2,91	7,40
		S	75,02	8,65	16,33	4,66
	03R	E	80,93	18,84	0,23	4,07
		NNE	72,67	21,59	5,74	24,95
		O1	82,82	8,18	9,00	0,93
		O2	76,77	20,64	2,59	5,15
		S	74,51	8,64	16,85	2,73
21	21L	E	92,77	4,82	2,41	7,49
		O	83,33	0,00	16,67	0,54
	21R	E	86,75	11,51	1,74	88,14
		O	80,00	7,06	12,94	3,83

Fuente: Elaboración propia

